

半無限領域内の集水暗きよによる取水量について
(自由地下水水面のある場合)

九州大学工学部 正員 上田年比古

正員 移尾 哲

学生員 神野 健二

1 まえがき

非湛水の均一な半無限領域において、地下水水面より下に円形暗きよがある場合の暗きよへの流れを考える。この地下水水面は取水条件を変えると、時間を経てにじたべって変動するので、実際は非定常現象として取り扱われるべきだが、ここでは定常状態に達した場合だけを考える。解析手法としてはまず未知の地下水水面を Zhukovsky 関数で直線上に写像し、さらにこの領域を Schwarz-Christoffel 変換などで半無限領域に写像すると、無限領域に流入束の 2 個あるボテンシャル流となり、速度ボテンシャルおよび流中関数の値が決定できますから、これらとの関係から地下水水面の形状とそのときの暗きよ取水量を求めることができます。

2 Zhukovsky 変換

Darcy の法則が成り立つ範囲の 2 次元定常浸透流の解析に複素ボテンシャルを利用すると、非回転定常流の基礎理論と Darcy の式から、

$$\bar{w} = \frac{k}{\mu} h = \frac{k}{\mu} \{(P_w) + y\} \quad \dots \dots (1)$$

もう 1. 次に Z 平面で未知の曲線である地下水水面を直線上に写像する Zhukovsky 関数：

$$\theta = \theta_1 + i\theta_2$$

を考える。まず、(1) 式において

$$k(P_w) \equiv \theta_1 = \bar{w} - k y \quad \dots \dots (2)$$

とするとように θ_1 を定義する。2. に重はラプラスの方程式を満足し、同様にラプラスの方程式を満足する中の共役関数であるから、 θ_1 に対して次式で定義される共役関数 θ_2 とする。

$$\theta_2 = \psi + kx \quad \dots \dots (3)$$

$$\therefore \theta = \theta_1 + i\theta_2 = \bar{w} + i\psi(x + iy)$$

$$= w + i\bar{z} \quad \dots \dots (4)$$

2 の (4) 式を使って、Z 平面、W 平面、θ 平面の対応を求めると表 1 のようになる。

Fig.1 : $B_{y\infty}$ (Z)

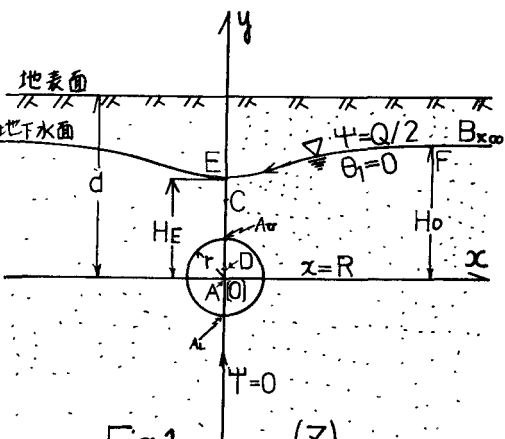


Fig.1 : $B_{y\infty}$ (Z)

Fig.2 : θ

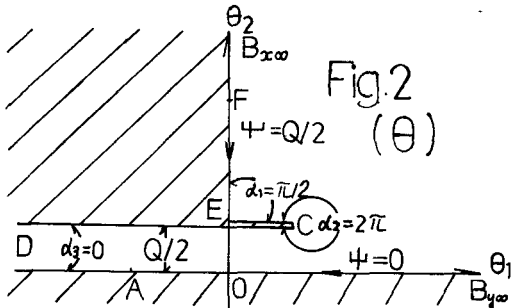


表-1

	地下水水面	理論流入量 (D)	暗きよ上端 (A ₀)	暗きよ下端 (A ₋)	地下水水面の最低点 (E)	無限遠東 (B _{y0})	無限遠東 (B _{y\infty})
Z 平面	地下水水面	$x=0, y=\delta$	$x=0, y=r$	$x=0, y=-t$	$x=0, y=H_E$	$x=\infty, y=H_0$	$x=0, y=-\infty$
W 平面	$\bar{w} = ky$ (λ が 0)	$\Phi = -\infty, \Psi < \frac{\theta}{Q/2}$	$\bar{w} = k(P_w), \Psi = Q/2$	$\Phi = k(P_w), \Psi = 0$	$\Phi = R H_E, \Psi = Q/2$	$\Phi = k H_0, \Psi = Q/2$	$\Phi = k H_0, \Psi = 0$
θ 平面	$\theta_1 = 0$	$\theta_1 = -\infty, \theta_2 < \frac{\theta}{Q/2}$	$\theta_1 = k(P_w) + r, \theta_2 = \theta_1$	$\theta_1 = k(P_w) + t, \theta_2 = 0$	$\theta_1 = 0, \theta_2 = Q/2$	$\theta_1 = 0, \theta_2 = \infty$	$\theta_1 = \infty, \theta_2 = 0$

2平面の漫透領域の右半分は図2のような日平面に写像される。次に2の多角形の内部を半無限領域に写像する。

3 Schwarz-Christoffel変換

Schwarz-Christoffel変換式を使って、図2の多角形 $DB_{x\infty}ECD$ の内部(ハッキのない部分)を図3のよう、 $\zeta_1 > 0$ の領域に写像する。

Schwarz-Christoffelの変換式は、

$$\frac{d\theta}{dt} = t(\zeta - \zeta_1)^{\frac{d_1}{n}-1} (\zeta - \zeta_2)^{\frac{d_2}{n}-1} (\zeta - \zeta_3)^{\frac{d_3}{n}-1} \quad (5)$$

(tは複素定数)

各点の対応:

- . E点; $d_1 = \pi/2$, $\zeta_1 = 0$
- C点; $d_2 = 2\pi$, $\zeta_2 = m^2$ ($0 \leq m^2 < 1$)
- D点; $d_3 = 0$, $\zeta_3 = 1$

とすれば、(5)式は、

$$\begin{aligned} \theta &= \int t \frac{\zeta - m^2}{\sqrt{\zeta}(\zeta - 1)} d\zeta \\ &= 2t\zeta + t(1-m^2) \ln \frac{\sqrt{\zeta} - 1}{\sqrt{\zeta} + 1} + C \quad (6) \end{aligned}$$

(Cは複素定数)

次に $\zeta = \xi i$ とおくと、(6)式は

$$\theta = 2t\xi i + t(1-m^2) \ln(\xi i - 1)/(3\xi i + 1) + C \quad (7)$$

2.4に沿って図3の2平面は図4の3平面に写像される。すなはち $\zeta = \xi + i\eta$, $\theta = \theta_1 + i\theta_2$, $t = t_1 + it_2$, $C = c_1 + ic_2$ である。

$$\begin{aligned} \text{いま } \ln(\xi i - 1)/(3\xi i + 1) &= \operatorname{Re} + i\operatorname{Im} \\ &= \frac{1}{2} \ln \frac{\xi^2 + (\eta + 1)^2}{\xi^2 + (\eta - 1)^2} + \tan^{-1} \frac{2\xi}{\xi^2 + \eta^2 - 1} \end{aligned} \quad (8)$$

とすると、(7)式を実数部分と虚数部分にわけると、

$$\begin{aligned} \theta_1 &= -2(t_1\eta + t_2\xi) + (1-m^2)(t_1\operatorname{Re} - t_2\operatorname{Im}) + C_1 \\ \theta_2 &= 2(t_1\xi - t_2\eta) + (1-m^2)(t_1\operatorname{Im} + t_2\operatorname{Re}) + C_2 \end{aligned} \quad (9)$$

したがって、(9)式を(8)式、(10)式に代入すると、

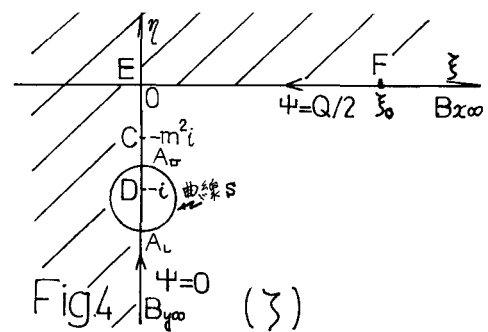
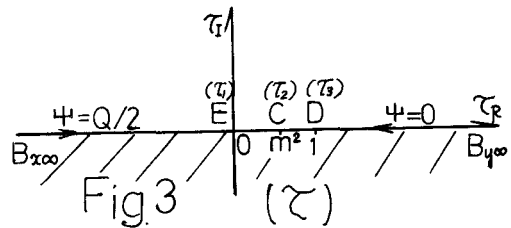
$$\theta = \theta_1 + i\theta_2 = -2(t_1\eta + t_2\xi) + (1-m^2)(t_1\operatorname{Re} - t_2\operatorname{Im}) + C_1 \quad (10)$$

$$\theta = -2t_1\xi + 2(t_1\xi - t_2\eta) + (1-m^2)(t_1\operatorname{Im} + t_2\operatorname{Re}) + C_2 \quad (11)$$

すなはち、(10), (11)式の未知定数 t_1 , t_2 , C_1 , C_2 を式に代入すると、

図1, 2, 4の対応から決定する。なお、各点の

2平面の座標およびその表の値は表-1に記してある。



(1): 流入点口 ($\xi = 0, \eta = -1$)

(2)式において, $\operatorname{Re} = -\infty$ とするとから, (11)式の Re の係數 t_2 は 0 でなければならぬ。

(11): E 点 ($\xi = \eta = 0$)

(12)式において, $\operatorname{Re} = 0$ とするとから, (11)式より, $C_1 = 0$ とうま。

(11): 暗き下端 A_L ($\xi = 0, \eta = -\beta$ ($\beta > 1$))

(12)式において $\operatorname{Im} = \tan^{-1} 0 = 0$ とすると, (11)式より $C_2 = 0$ とうま。

(11): 暗き上端 A_U ($\xi = 0, \eta = d$ ($0 < d < 1$)))

図4の D 点のまわりの曲線 S によって, (12)式の $2\xi/(3\xi + \eta^2 - 1)$ の変化を調べると, A_U 点では $\operatorname{Im} = \tan^{-1} 0 = 0$ である。また $\xi = 0$, $t_2 = 0$, $\operatorname{Im} = Q/2$ であるから, (11)式より $t_1 = Q/\{2\pi(1-m^2)\}$ とうま。

$$\Psi = RY - \frac{Q}{\pi(1-m^2)}\eta + \frac{Q}{4\pi} \ln \frac{\xi^2 + (\eta+1)^2}{\xi^2 + (\eta-1)^2} \quad \dots (12)$$

$$\Psi = -R\chi + \frac{Q}{\pi(1-m^2)}\xi + \frac{Q}{2\pi} \tan^{-1} \frac{2\xi}{\xi^2 + \eta^2 - 1} \quad \dots (13)$$

4 複素ボテンシャルの値

さて、図4はZ平面の浸透領域の右側を写像したもので、流れは $B_{x0} \sim B_{y0}$ から流入点Dに向かっている。(たがって、まず、Z平面の浸透領域の左側の写像も同様に図4の左側に見え、さらに多軸に関して複像の位置に同じ流入点をおくこと、2の場合の複素ボテンシャルの式は、次式と互いにわかる。)

$$\Psi = \Psi + i\mu = \frac{Q}{2\pi} \ln(\beta+i)(\beta-i) + \mu$$

ここで μ は複素定数で $\mu = \mu_1 + i\mu_2$ である。
たがって、シント実数部分と虚数部分に分け、E点の条件を満たす μ を決定すると 次式を得る。
($\Psi = RHE, \mu = \frac{Q}{2}, \xi = 0, \eta = 0$ である。)

$$\Psi = \frac{Q}{4\pi} \ln \left\{ \xi^2 + (\eta-1)^2 \right\} \left\{ \xi^2 + (\eta+1)^2 \right\} + RHE \quad \dots (14)$$

$$\Psi = \frac{Q}{2\pi} \tan^{-1} \frac{2\xi\eta}{\xi^2 - \eta^2 + 1} \quad \dots (15)$$

これら2式は、前出の(12), (13)式に対応するもので、Z平面を媒介として、Z平面とW平面との1対1に対応する。(たがって Z平面、W平面およびX平面における各点の境界条件を満たすことにより、物理量R, r, (P/ω) , HE, Q, H₀の関係式をうる。)またこれらに応する未知数としてZ平面のF点に対するW平面の値を、 α, β, m^2, E 点の高さHE, 取水点Qに満たす方程式を導く。

(1) 地下水位回復率 ϵ ($\xi = \xi_0, \eta = 0$)

$$\Psi = RH_0 \cdot \epsilon \quad (14) \text{式に代入すると、}$$

$$HE = H_0 - \frac{Q}{2\pi R} \ln(\xi_0^2 + 1) \quad \dots (16)$$

また、

$$\chi = R, \Psi = \frac{Q}{2} \quad (13) \text{式に代入すると}$$

$$\frac{2\pi}{Q} \left\{ \frac{Q}{2} + RR - \frac{Q}{\pi(1-m^2)} \xi_0 \right\} = \tan^{-1} \frac{2\xi_0}{\xi_0^2 - 1} \quad (17)$$

(ii) 暗き上端A ($\xi = 0, \eta = -d$)

$$y = r, \Psi = R(P/\omega) \quad ; \text{中と(4)式に代入すると}$$

$$d^2 = 1 - \exp \left[\left(2\pi/Q \right) R \left\{ (P/\omega) - HE \right\} \right] \quad \dots (18)$$

また(12)式より

$$R \left\{ (P/\omega) - r \right\} = Q / \left\{ 2\pi(1-m^2) \right\} \cdot \left[(1-m^2) \ln \left\{ (1-d)/(1+d) \right\} + 2d \right] \quad \dots (19)$$

(iii) 暗き下端A ($\xi = 0, \eta = +d$)

$$y = -r, \Psi = R(P/\omega) \quad ; \text{中と(2)式に代入すると}$$

$$R \left\{ (P/\omega) + r \right\} = Q / \left\{ 2\pi(1-m^2) \right\} \left[(1-m^2) \ln \left\{ (1+d)/(1-d) \right\} + 2d \right] \quad \dots (20)$$

(iv) 暗き周壁は等ボテンシャルであるから、

$$(4) \text{式から } \beta^2 = 2 - d^2 \quad \dots (21)$$

1をかって、6個の未知数は (6)~(21) の6元連立方程式の解をえらぶ。

5 数値解析

まず、(16)~(21)式を HE で無次元化した式について考えると、

$$d^2 = 1 - \exp \left[\left(2\pi / (Q/RH_0) \right) R \left\{ (P/\omega) / H_0 - (HE/H_0) \right\} \right] \quad (22)$$

$$\beta^2 = 2 - d^2 \quad (23)$$

$$m^2 = - \frac{2d(Q/RH_0)}{2\pi \left\{ (P/\omega) - r \right\} / H_0 - (Q/RH_0) \ln \left\{ (1-d)/(1+d) \right\}} \quad \dots (24)$$

$$Q/RH_0 = \frac{2\pi(1-m^2) \left\{ (P/\omega) + r \right\} / H_0}{(1-m^2) \ln \left\{ (1+d)/(1-d) \right\} + 2\beta} \quad \dots (25)$$

の4式に、境界条件として、 $r/H_0, (P/\omega)/H_0$ を与えと、 HE/H_0 に対する Q/RH_0 をうる。この結果を残りの

$$\xi_0^2 = \exp \left\{ 2\pi(1-HE/H_0) / (Q/RH_0) \right\} - 1 \quad \dots (26)$$

$$R/H_0 = \left[\tan^{-1} \left\{ 2\xi_0 / (\xi_0^2 - 1) \right\} - \pi + \frac{2\xi_0}{(1-m^2)} \cdot (Q/RH_0) \right] / 2\pi \quad \dots (27)$$

に代入すると、 R/H_0 を算出でき、その過程で、 α, m^2, β も定まることから、6元連立方程式を解けばよいことになる。この算定結果として、

$r/H_0 = 0.1, (P/\omega)/H_0 = 0.15, HE/H_0 = 0.4$ の場合の地下水水面形を図5に、また $r/H_0 = 0.2$ の

場合の (P_w/H_0) , H_E/H_0 , R/H_0 , Q/RH_0 の計算図表を図 6 に示している。以下、本報の解析結果は、井戸の理論と同様に、 $X = \infty$ の處で $y = \infty$ の水位を持つ。したがって、暗きよ中より $X = R$ の位置に、 $y = H_0$ の水位を持つ水槽があるならば浸透領域を想定しなくて不都合を生じる。

なお、本研究は、昭和 44 年度文部省科学研究費の補助を受けた。この記して謝意を表す。

(参考文献)

D M E Harr

"Groundwater and Seepage"

y/H_0 ($r/H_0 = 0.1 : P_w/H_0 = 0.15$)
 $R/H_0 = 2.46 : Q/H_0 k = 1.66$)

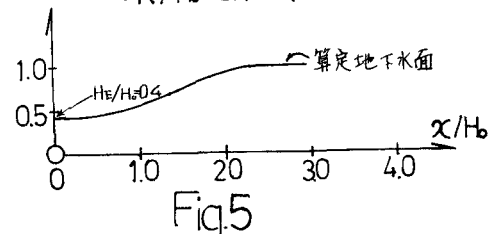


Fig. 5

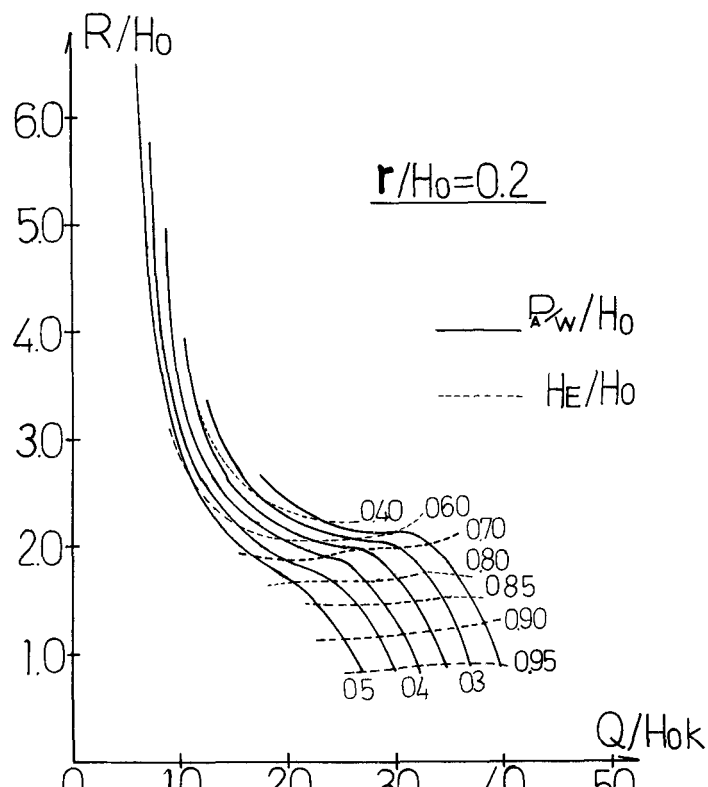


Fig. 6